

Техническое задание. Ч.2

1. Объем хранения, при котором достигается равновесие давления на уровне 700 бар при остальных вводных условиях - 884л?
2. *Время* перетока при наших имеющихся условиях при замене емкости хранения на 884л - 70-75сек?
3. Сообщите ваши предположения по изменению температуры газа, температуры стенок сосудов, в которых он перемещается, во время перетока или при повторении процесса без промежутков времени, пауз на выравнивание температуры между процессами.

Вопрос 1

Представленный ранее отчет содержит алгоритм расчета, который справедлив для любых задаваемых параметров, но рассчитанные значения в формулах были получены при условиях, которые даны в техническом задании, т.е. заведомо некорректны. Однако, в результатах, выделенных жирным, приводятся корректные данные, соответствующие предельному случаю, когда давление равновесия совпадает с требуемым, т.е. на практике оно будет достигнуто в течение длительного времени (теоретически - бесконечного, поскольку равновесное давление есть асимптота для функции изменения давления).

На первом этапе расчета установлено, что указанные в техническом задании данные некорректны, поэтому ответы на поставленные вопросы были изложены в форме таблицы:

Объем баллона автомобиля, л:	120	150	82
Равновесное давление, атм:	652.1	616.3	703.9
Необходимый объем емкости, л:	884	1104.2	605.2

Порядок чтения данных на примере мобильной емкости объемом 120 л

1. Если объем мобильной емкости составляет 120 л, а объем емкости хранилища 625 л, то при достижения полного равновесия в общей гидравлической системе установится давление 652.1 атм;
2. Поскольку давление равновесия 652.1 атм, а требуемое давление в мобильной емкости 700 атм, то реализовать достижение требуемого давления нельзя, поскольку при заправке максимально возможное давление - давление равновесия;
3. Чтобы обеспечить заправку мобильной емкости объемом 120 л до желаемого давления 700 атм, потребуется объем хранилища 884 л. При этом объеме хранилища через длительное (теоретически - бесконечное) время удастся получить давление в мобильной емкости 700 атм;
4. Если принять объем хранилища 884 л, то возможно реализовать заправку только одной мобильной емкости объемом 120 л. После первой заправки давление в хранилище станет чуть большим давления равновесия - 700...705 атм, заправка последующих емкостей до требуемого давления без заправки хранилища будет невозможна.

Порядок чтения данных, отмеченных цветом

1. Если объем мобильной емкости составляет 82 л, а объем емкости хранилища 625 л, то при достижения полного равновесия в общей гидравлической системе установится требуемое давление 700 атм;
2. Применим пункт 4 из прошлого примера.

Вопрос 2

На первом этапе расчета установлено, что указанные в техническом задании данные некорректны, поэтому ответы на поставленные вопросы были изложены в форме таблицы:

Объем баллона автомобиля, л:	120	150
Необходимый объем емкости, л:	884	1104.2
Время процесса наполнения, сек:	70...75	90...95
Максимальное ускорение газа, м/с/с:	65	53

Порядок чтения данных на примере мобильной емкости объемом 120 л

1. Если объем мобильной емкости составляет 120 л, а объем емкости хранилища 884 л, то при достижении полного равновесия в общей гидравлической системе установится давление 700 атм;

2. Ориентировочное время, при котором в мобильной емкости будет достигнуто давление, близкое к 700 атм, - 70-75 с. Как было отмечено в расчете, в этой ситуации будет гарантированный недобор по давлению ввиду небольших, но имеющихся гидравлических сопротивлений - порядка 2-3% от указанного уровня, т.е. ориентировочно 690-695 атм. Изменение давления в емкостях во времени для рассмотренных условий характеризуется наличием асимптоты (давление равновесия), т.е. это давление не может быть достигнуто в гидравлической системе полностью. Такой режим нецелесообразно реализовывать на практике.

Регулирование процесса истечения

Из анализа уравнения истечения следует, что наиболее доступным и практичным способом регулирования времени процесса наполнения мобильной емкости является площадь проходного сечения f :

$$\frac{d}{dt}y = \frac{-n \cdot f}{V_0} \cdot \sqrt{\frac{p_0}{\rho_0}} \cdot \varphi\left(\frac{1}{y} \cdot \frac{p_2}{p_0}\right) \cdot y^{\frac{3}{2} - \frac{1}{2n}}$$

Возможно, в рамках решаемой задачи целесообразно искать связь между скоростями истечения и проходным сечением запорной арматуры, при фиксированных, но адекватных объемах хранилища.

Вопрос 3

Изменение температуры газа и элементов гидравлической системы может быть определено с достаточно высокой точностью. Для детального расчета тепловых процессов необходимо уточнить исходные данные, а именно:

- * 1. Действительный объем и давление в хранилище - эти данные позволят определить:
 - возможное количество циклов заправки мобильной емкости (n);
 - остаточное давление в хранилище после каждой заправки;
 - граничные условия для расчета тепловых процессов $n+1$ заправки;
 - инертность тепловой системы.
- 2. Условия окружающей среды - если в месте эксплуатации системы параметры отличаются от нормальных ($20\text{ }^{\circ}\text{C}$, 760 торр).
- 3. Наличие/отсутствие внешних источников интенсификации конвективного теплообмена в месте эксплуатации системы (вентиляторы, сплит-системы и т.д.).

* Для реализации детального расчета прошу согласовать указанный пункт

Тепловой расчет гидравлической системы (приближенный)

Для выполнения теплового расчета введем ряд допущений:

1. Процесс истечения газа из хранилища в мобильную емкость (локальный) принимается адиабатным, происходящим в условиях сохранения постоянных значений тепловой функции (энтальпии) газа;
2. Истечение газа реализуется последовательными элементарными процессами расширения при сохранении постоянного давления в хранилище в пределах малого промежутка времени протекания этого элементарного процесса;
3. Температура газа в хранилище не изменяется в процессе истечения;
4. Скорость газа в хранилище незначительна и не учитывается в расчете;
5. После истечения очередная порция газа в элементарном процессе продавливается по тракту системы и не влияет на температуру в конце расширения следующей порции газа, ввиду высокой инертности системы по отношению к скорости истечения.

С учетом интервала поиска и шага решения дифференциального уравнения истечения имеем значения давления в хранилище и мобильной емкости:

Абсолютное давление в мобильной емкости: $P2_абс_i$

Абсолютное давление в хранилище: $Pб_абс_i$

Коэффициент пересчета времени процесса: *

$$t_{i2t} := 1$$

Время процесса истечения (абсолютное), с:

$$t_i := \overrightarrow{(i \cdot t_{i2t})}$$

* Отличен от 1, если шаг решения не равен 1 с

Энтальпия газа в начале расширения от i -того давления в хранилище:

$$h_{hp_i} := h_{Tpz}(T_{OC}, p_{\delta_абс_i}, x_{H2})$$

Температура газа в конце расширения до i -того давления в мобильной емкости:

$$T_{k_i} := T_{phz}(p_{2_абс_i}, h_{hp_i}, x_{H2})$$

Энтальпия газа в конце изотермического расширения до i -того давления в мобильной емкости:

$$h_{kTp_i} := h_{Tpz}(T_{OC}, p_{2_абс_i}, x_{H2})$$

Знак дифференциального дроссельного эффекта:

$$h_{JT_Tdx}(T_{OC}, \rho_{Tpz}(T_{OC}, p_{0_абс}, x_{H2}), x_{H2}) = -5.1 \times 10^{-4} \cdot \frac{K}{кПа}$$

После расширения газ нагреется, поэтому удельная "теплопроизводительность":

$$\Delta h_{T_i} := h_{hp_i} - h_{kTp_i}$$

Масса газа в хранилище:

$$m_{\delta_i} := V_0 \cdot \rho_{Tpz}(T_{OC}, p_{\delta_абс_i}, x_{H2})$$

Количество перетекающего газа в мобильную емкость в i -том элементарном процессе:

$$\Delta m_{\delta} := \left\{ \begin{array}{l} \text{for } j \in 1 \dots \text{rows}(Z) - 1 \\ \quad \text{result}_{j-1} \leftarrow m_{\delta_{j-1}} - m_{\delta_j} \\ \text{result}_{\text{rows}(Z)} \leftarrow 0 \\ \text{result} \end{array} \right.$$

Масса газа в мобильной емкости:

$$m_{me_i} := m_0 - V_0 \cdot \rho_{Tpz}(T_{OC}, p_{\delta_абс_i}, x_{H2})$$

Абсолютная "теплопроизводительность" в i -том процессе:

$$\Delta Q_{T_i} := \overrightarrow{(\Delta h_{T_i} \cdot \Delta m_{\delta_i})}$$

Полная "теплопроизводительность" в процессе расширения:

$$Q_{\Sigma} := \sum_{27} \Delta Q_T = 1576.9 \cdot кДж$$

Количественная оценка теплоемкой массы

Ориентировочное количество теплоемкой массы гидравлической системы на участке от рампы хранилища до заправочного устройства:

Толщина стенки трубы:

$$\delta := 1.5 \text{ мм}$$

Объем теплоемкой массы:

$$V_{\text{TM}} := \frac{\pi \cdot \left[(D_{\text{px_zy}} + 2 \cdot \delta)^2 - D_{\text{px_zy}}^2 \right]}{4} \cdot l_{\text{px_zy}} = 108384.9 \cdot \text{мм}^3$$

Усредненная плотность металлических частей:

$$\rho_{\text{TM}} := 7700 \frac{\text{кг}}{\text{м}^3}$$

Масса трубы (с коэффициентом, учитывающим соединения):

$$m_{\text{TM}} := 1.2 V_{\text{TM}} \cdot \rho_{\text{TM}} = 1.001 \cdot \text{кг}$$

Масса арматуры (вентиль + регулятор):

$$m_{\text{арм}} := 0.15 \text{ кг} + 0.3 \text{ кг} = 0.45 \cdot \text{кг}$$

Общая масса:

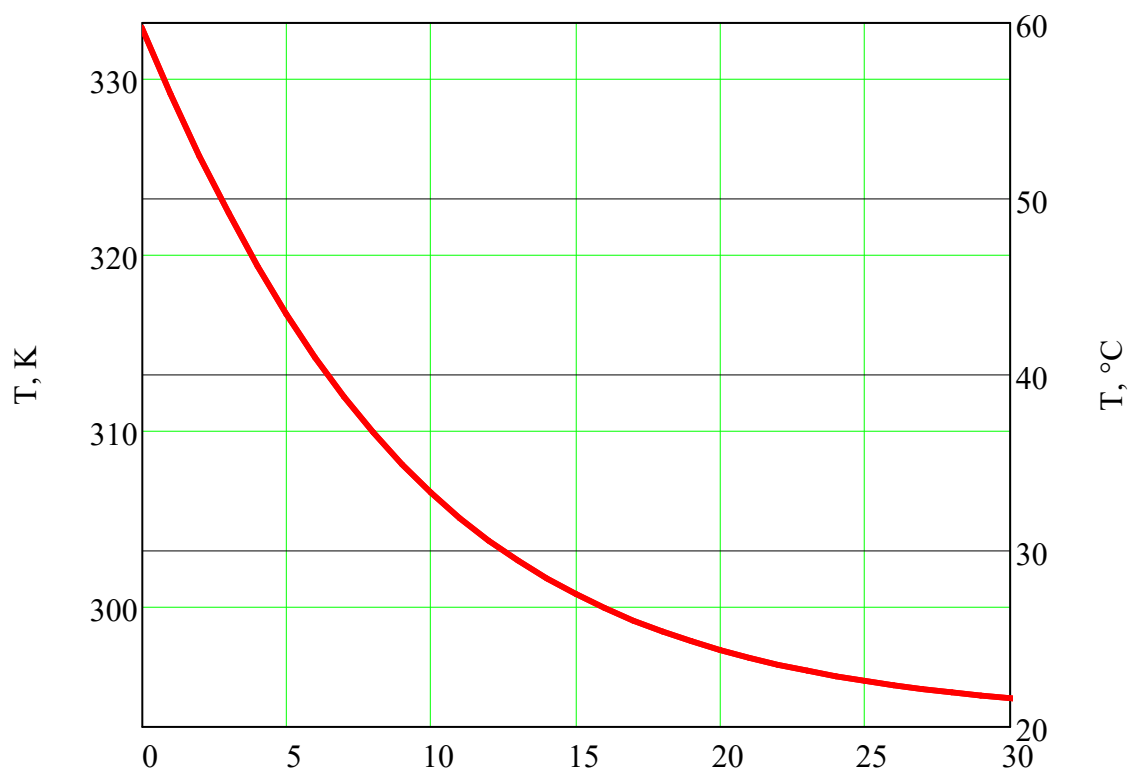
$$m_{\Sigma} := m_{\text{TM}} + m_{\text{арм}} = 1.451 \cdot \text{кг}$$

Масса баллона объемом 150 л и расчетным давлением 800 бар (ориентировочно):

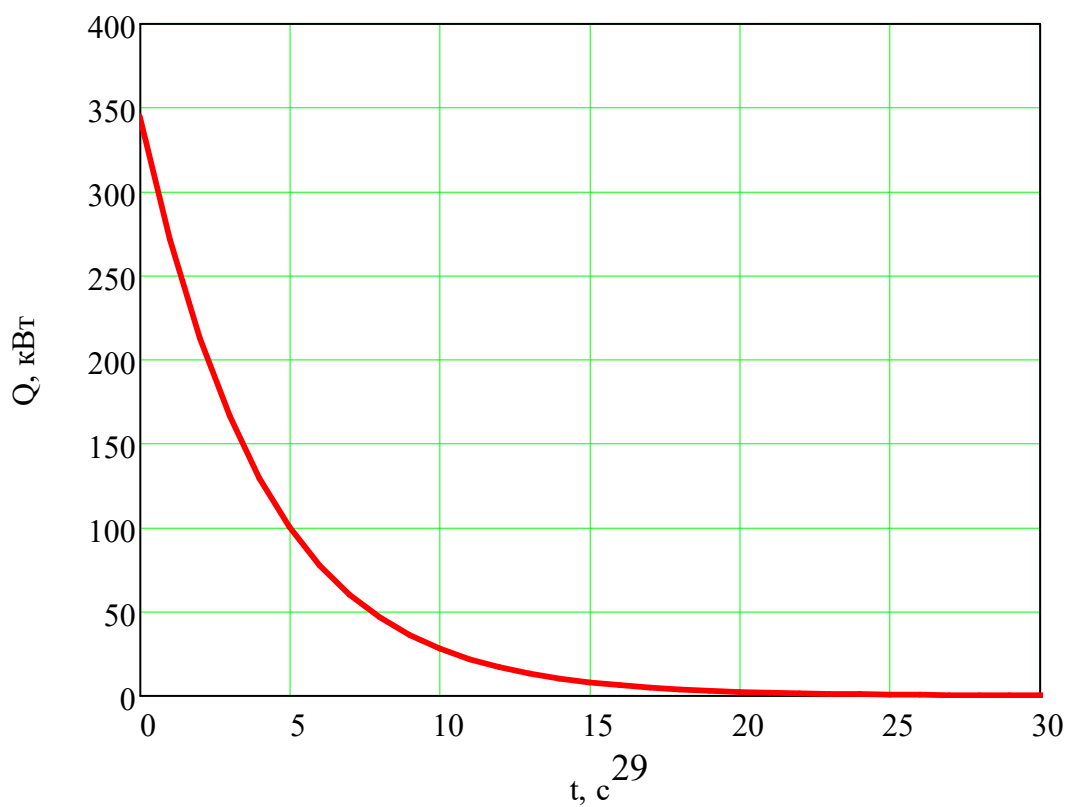
$$m_{\text{б}} := 250 \text{ кг}$$

Промежуточные результаты расчета

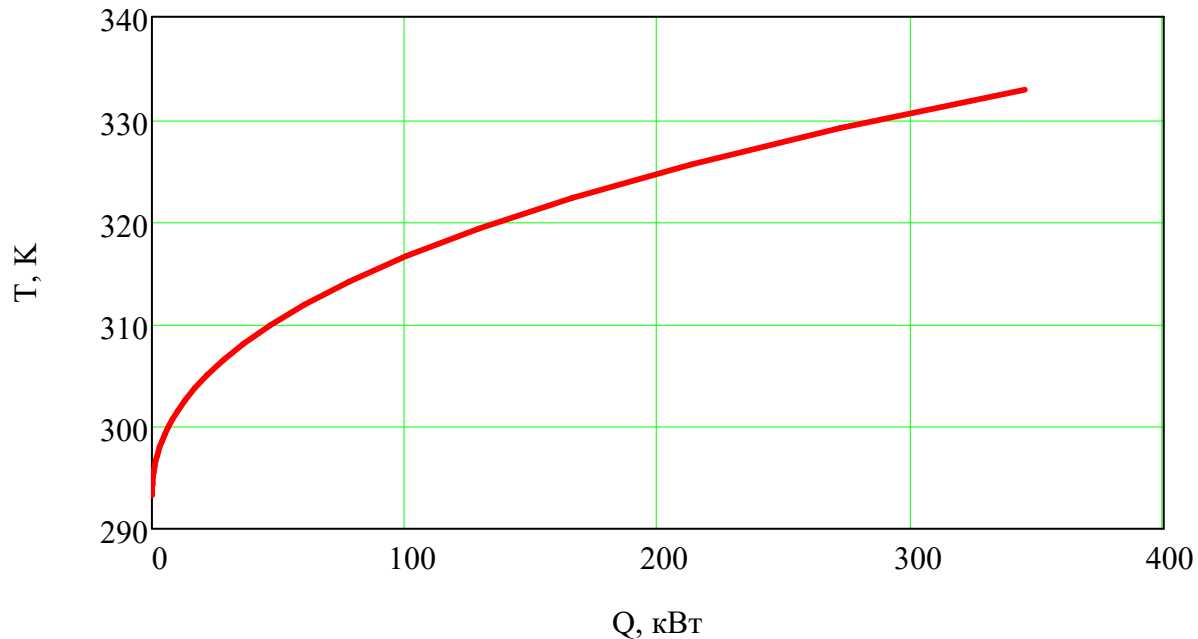
На графиках, где это возможно, указаны две оси ординат: слева - в кельвинах, справа - в градусах цельсия. В местах, где это затруднительно - только шкала в кельвинах. Температура газа после расширения:



Тепловой поток в i -том элементарном процессе (может быть определен, поскольку известно количество выделяемой теплоты и временной шаг элементарного процесса):



Тепловая диаграмма, характеризующая текущую температуру газа после расширения и количество теплоты, которая реализуется в системе. Температура газа после расширения убывает с течением времени, поэтому для начальных этапов процесса характерна наибольшая температура газа и наибольший тепловой поток.



Определение параметров для численного расчета

Начальные температуры потока и теплопередающей стенки:

$$T_0 := T_{OC} = 20^{\circ}\text{C}$$

$$T_{CT_0} := T_{OC} = 20^{\circ}\text{C}$$

Температура потока после расширения:

$$T_0(t) := T_{k_t}$$

Давление потока после расширения:

$$p_0(t) := p_{2_abc_t}$$

Длина поверхности теплообмена:

$$L := l_{px_zy} = 2 \cdot \text{м}$$

Периметр теплообмена со стороны потока (внутреннее сечение канала):

$$\Pi := \pi \cdot D_{px_zy} = 31.4 \cdot \text{мм}$$

Площадь проходного сечения для потока газа (внутреннее сечение канала):

$$S := \frac{\pi \cdot D_{px_zy}^2}{4} = 78.5 \cdot \text{мм}^2$$

Площадь поперечного сечения теплопередающей стенки (кольцо):

$$S_{CT} := \frac{\pi \cdot \left[(D_{px_zy} + 2 \cdot \delta)^2 - D_{px_zy}^2 \right]}{4} = 54.2 \cdot \text{мм}^2$$

Массовый расход потока:

$$G(t) := \frac{\Delta m_{\text{round}(t)}}{c}$$

Плотность материала
теплопередающей стенки:

$$\rho_{CT} := 7700 \frac{\text{кг}}{\text{м}^3}$$

Теплоёмкость потока:

$$C_{p1}(t) := C_{p_{Tpz}}(T0(t), p0(t), x_{H2})$$

Теплоёмкость стенки:

$$C_{CT}(t) := 440 \frac{\text{Дж}}{\text{кг} \cdot \text{К}}$$

Теплопроводность стенки:

$$\lambda_{CT} := 40 \cdot \frac{\text{Вт}}{\text{м} \cdot \text{К}}$$

Плотность потока:

$$\rho0(t) := \rho_{Tpz}(T0(t), p0(t), x_{H2})$$

Расчет коэффициента теплоотдачи (по газу)

Плотность потока после расширения:

$$\rho0(t) := \rho_{Tpz}(T0(t), p0(t), x_{H2})$$

Теплоемкость потока после расширения:

$$C_{p0}(t) := C_{p_{Tpz}}(T0(t), p0(t), x_{H2})$$

Теплопроводность потока после расширения:

$$\lambda0(t) := \lambda_{Tdx}(T0(t), \rho0(t), x_{H2})$$

Динамическая вязкость потока после расширения:

$$\mu0(t) := \mu_{Tdx}(T0(t), \rho0(t), x_{H2})$$

Интегральная скорость потока (значительно ниже мгновенной, которая была найдена ранее, так как рассматривается "длительный" элементарный процесс):

$$\omega0(t) := \frac{G(t)}{\rho0(t) \cdot S}$$

▣ Усредненные параметры (неактуально)

Число Рейнольдса:

$$Re0(t) := \frac{\omega0(t) \cdot D_{px_{zy}} \cdot \rho0(t)}{\mu0(t)}$$

Критерий Прандтля:

$$\text{Pr0}(t) := \frac{\mu_0(t) \cdot C_{p0}(t)}{\lambda_0(t)}$$

Критерий Нуссельта (горизонтальный канал, турбулентный режим течения):

$$\text{Nu0}(t) := 0.023 \cdot \text{Re0}(t)^{0.8} \cdot \text{Pr0}(t)^{0.4}$$

Коэффициент теплоотдачи:

$$\alpha_0(t) := \frac{\text{Nu0}(t) \cdot \lambda_0(t)}{D_{\text{px_zy}}}$$

Расчет температуры стенки методом сосредоточения параметров (уточненный)

Характерное время процесса:

$$t_0(t) := \frac{S_{\text{CT}} \cdot C_{\text{CT}}(t) \cdot \rho_{\text{CT}}}{\alpha_0(t) \cdot \Pi}$$

Коэффициенты уравнения теплопроводности:

$$a(t) := \frac{G(t) \cdot t_0(t)}{S \cdot \rho_0(t) \cdot L}$$

$$b(t) := \frac{\alpha_0(t) \cdot \Pi \cdot t_0(t)}{S \cdot C_{p0}(t) \cdot \rho_0(t)}$$

Безразмерное время процесса:

$$\tau(t) := \frac{t}{t_0(t)} \cdot c$$

Безразмерная координата:

$$x(X) := \frac{X}{L}$$

Число единиц переноса:

$$\text{NTU}(t) := \frac{b(t)}{a(t)}$$

Проверка адекватности использования ступенчатого сосредоточения:

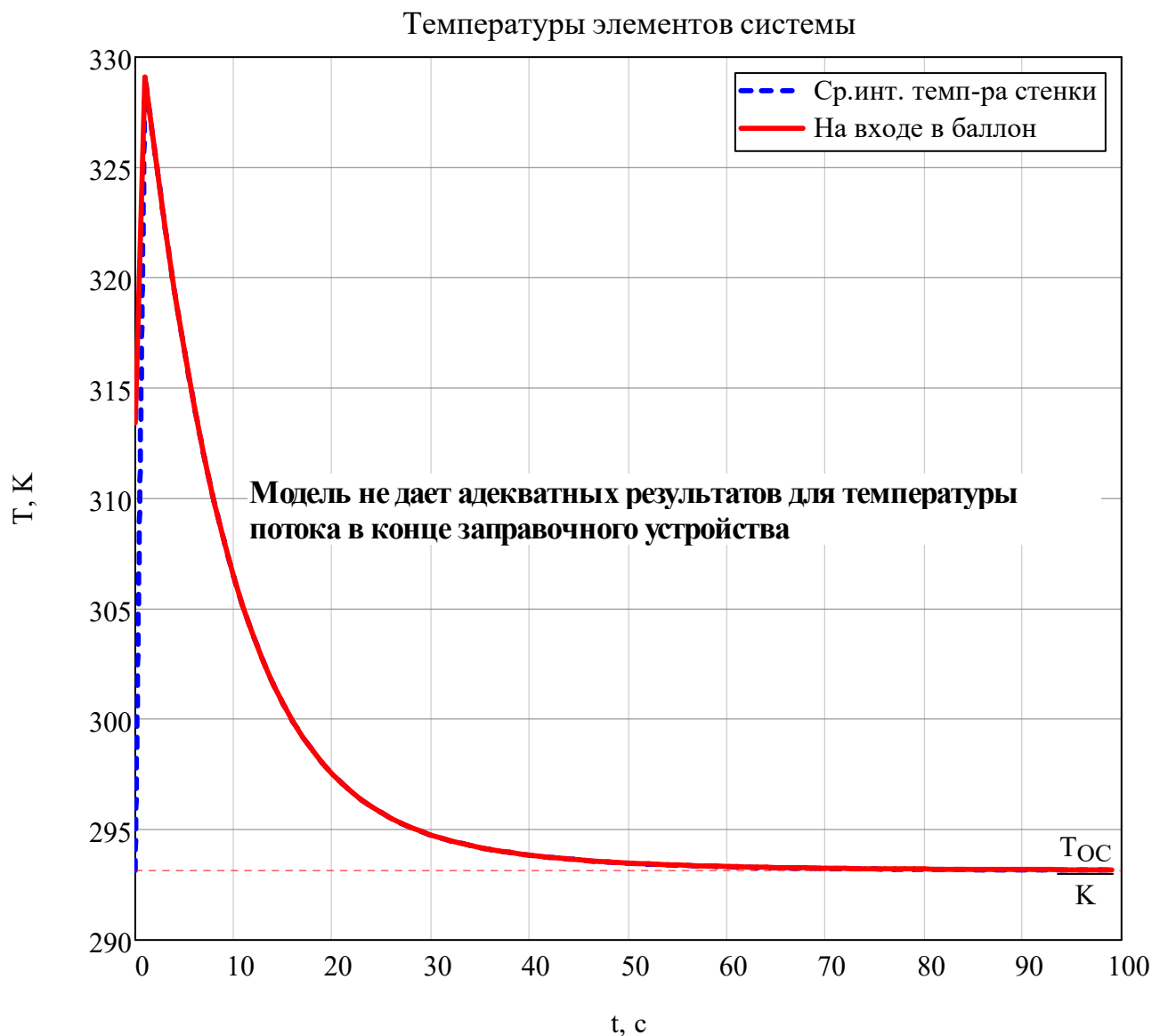
$$\text{NTU}(1) = 0.989 < 1$$

Среднеинтегральная температура стенки:

$$T_{\text{CT_COC_ИНТ}}(t) := T_0(t) + (T_{\text{CT_0}} - T_0(t)) \cdot \exp\left(\frac{-\tau(t)}{\text{NTU}(t) + 1}\right)$$

$$T_COC(t) := T0(t) + \frac{NTU(t) \cdot (T_CT_0 - T0(t)) \cdot \exp\left(\frac{-\tau(t)}{NTU(t) + 1}\right)}{NTU(t) + 1}$$

$$t := 0, 1 \dots 99$$



Расчет температуры стенки конечно-разностным методом

Число разбиений по координате и времени:

$$n_x := 100$$

$$n_t := 100$$

Шаги конечного элемента:

$$\Delta x := \frac{1}{n_x} = 0.01 \quad \Delta \tau := \frac{1}{n_t} = 0.01$$

Коэффициенты уравнения теплопроводности:

$$N(t) := \frac{\alpha_0(t) \cdot \Pi \cdot L}{G(t) \cdot C_{p0}(t)}$$

$$\beta(t) := \frac{\alpha_0(t) \cdot \Pi \cdot t_0(t)}{\rho_{CT} \cdot C_{CT}(t) \cdot S_{CT}}$$

По потоку:

$$T_{\text{KOH}_{i,j+1}} = T_{\text{KOH}_{i-1,j+1}} \dots + \Delta x \cdot N(T_{\text{KOH}_{i,j}}) \cdot (T_{\text{CT_KOH}_{i-1,j+1}} - T_{\text{KOH}_{i-1,j+1}})$$

По стенке:

$$T_{\text{CT_KOH}_{i,j+1}} = \frac{T_{\text{CT_KOH}_{i,j}} + \Delta \tau \cdot \beta(T_{\text{KOH}_{i,j}}) \cdot T_{\text{KOH}_{i,j+1}}}{1 + \Delta \tau \cdot \beta(T_{\text{KOH}_{i,j}})}$$

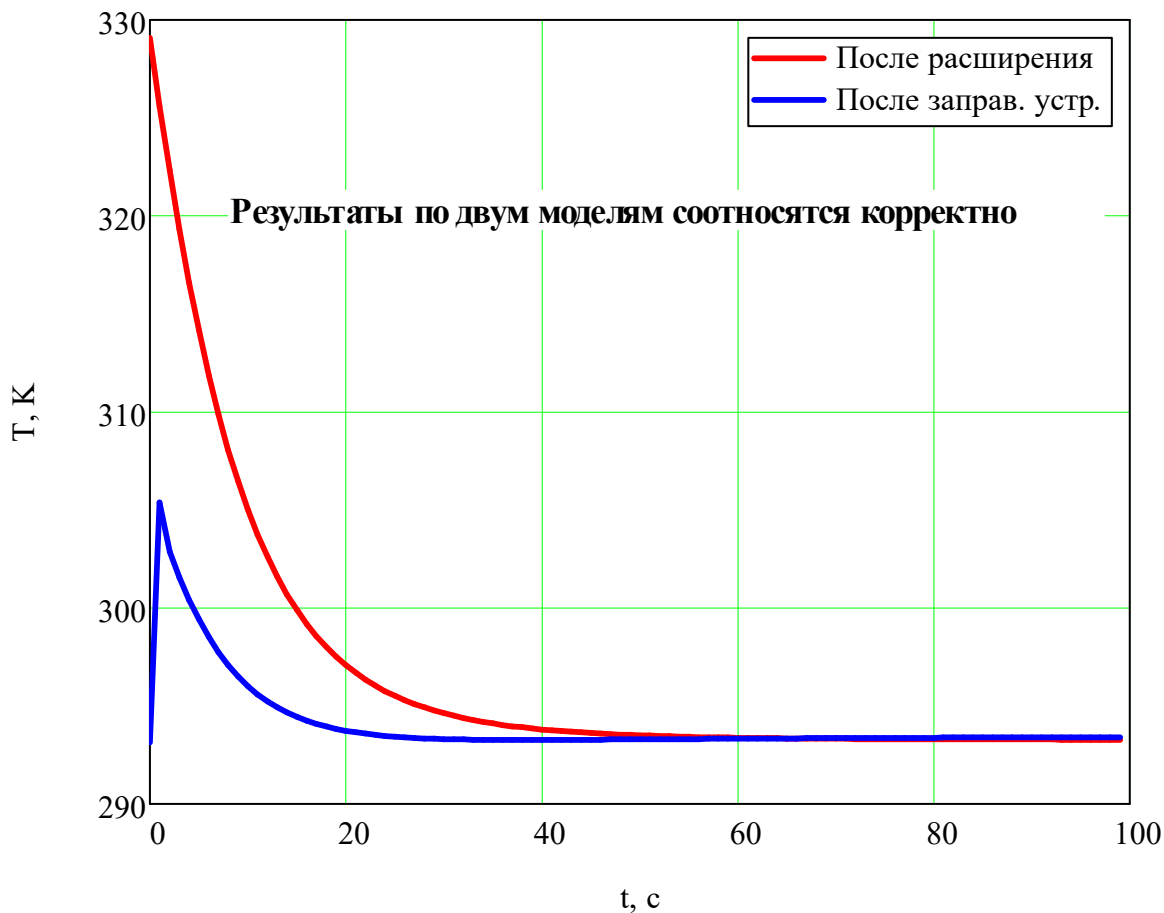
Итерационный функционал для расчета

```
ans(print) :=
  for j ∈ 1, 2 .. n_τ
    T_KOH1,j ← T0(j)
  for j ∈ 2, 3 .. n_τ
    T_CT_KOH1,j ← 1K
  for i ∈ 2, 3 .. n_x + 1
    T_KOHi,1 ← T_0
  for i ∈ 1, 2 .. n_x + 1
    T_CT_KOHi,1 ← T_CT_0
  T_CT_KOH1,2 ←  $\frac{T_{\text{CT\_KOH}_{1,1}} + \Delta \tau \cdot \beta(1) \cdot T_{\text{KOH}_{1,2}}}{1 + \Delta \tau \cdot \beta(1)}$ 
  for j ∈ 1, 2 .. n_τ - 1
    for i ∈ 2, 3 .. n_x + 1
      T_KOHi,j+1 ← T_KOHi-1,j+1 ...
        + Δx · N(j) · (T_CT_KOHi-1,j+1 - T_KOHi-1,j+1)
      T_CT_KOHi,j+1 ←  $\frac{T_{\text{CT\_KOH}_{i,j}} + \Delta \tau \cdot \beta(j) \cdot T_{\text{KOH}_{i,j+1}}}{1 + \Delta \tau \cdot \beta(j)}$ 
    T_CPj ←  $\frac{1}{n_x + 1} \cdot \sum_{k=1}^{n_x+1} T_{\text{CT\_KOH}_{k,j+1}}$ 
  ans ← T_KOH if print = 1
  ans ← T_CP if print = 2
  ans ← T_CT_KOH if print = 3
```

Температура потока: $T_{\text{KOH}} := \text{ans}(1)$

Температура стенки: $T_{\text{CT_KOH}} := \text{ans}(3)$

Температура потока в зависимости от времени и положения в канале:



Для расчета температур применяются формулы и функциональные зависимости из теории теплообмена, которые являются строго теоретическими и отличающимися от эмпирических значений на 15-20%. Более высокую точность расчета при моделировании можно получить при использовании пакетов для построения температурных полей в твердотельных моделях с грамотно заданными граничными условиями и функцией изменения температуры потока на входе.

Расчет температуры наружной стенки

Средняя температура воздуха:

$$t_{oc} := T_{OC} = 20^{\circ}\text{C}$$

Коэффициент теплопроводности:

$$\lambda_{oc} := 2.606 \cdot 10^{-2} \frac{\text{Вт}}{\text{м} \cdot \text{К}}$$

Критерий Прандтля:

$$\text{Pr}_{oc} := 0.7026$$

внесенному тепловому потоку):

$$\beta_{oc} := 2.098 \cdot 10^{-3} \cdot \frac{1}{K}$$

Коэффициент температуропроводности:

$$\nu_{oc} := 15.248 \cdot 10^{-6} \cdot \frac{m^2}{c}$$

Ускорение свободного падения:

$$g = 9.8 \frac{m}{c^2}$$

Критерий Грасгофа:

$$Gr_{oc}(t_{ct_H}) := \frac{g \cdot \beta_{oc} \cdot (t_{ct_H} - t_{oc}) \cdot (D_{px_zy} + 2 \cdot \delta)^3}{\nu_{oc}^2}$$

Критерий Нуссельта:

$$Nu_{oc}(t_{ct_H}) := 0.5 \cdot (Gr_{oc}(t_{ct_H}) \cdot Pr_{oc})^{0.25}$$

Коэффициент теплоотдачи:

$$\alpha_{oc}(t_{ct_H}) := \frac{Nu_{oc}(t_{ct_H}) \cdot \lambda_{oc}}{D_{px_zy} + 2 \cdot \delta}$$

Термическое сопротивление потока газа удельное:

$$R_T(t) := \frac{1}{\alpha_0(t) \cdot D_{px_zy}}$$

Термическое сопротивление стенки удельное:

$$R_{Tp} := \frac{1}{2 \cdot \lambda_{CT}} \cdot \ln \left[\frac{(D_{px_zy} + 2 \cdot \delta)}{D_{px_zy}} \right]$$

Термическое сопротивление воздуха удельное:

$$R_{oc}(t_{ct_H}) := \frac{1}{\alpha_{oc}(t_{ct_H}) \cdot (D_{px_zy} + 2 \cdot \delta)}$$

Линейная плотность теплового потока:

$$q_{oc}(t_{ct_H}, t) := \frac{\pi \cdot (T_0(t) - t_{oc})}{R_T(t) + R_{Tp} + R_{oc}(t_{ct_H})}$$

Время процесса:

$$t_{\text{пр}} := 60\text{с}$$

С другой стороны среднеинтегральный линейный тепловой поток:

$$q_{\text{ос}}' := \frac{\frac{Q_{\Sigma}}{t_{\text{пр}}}}{\pi \cdot D_{\text{рх_зу}}} = 836.6 \frac{\text{кВт}}{\text{м}}$$

Максимально возможная температура стенки:

$$t_{\text{ст_н_max}} := \max(T_{\text{КОН}}) = 55.9^{\circ}\text{C}$$

При этой температуре максимальное количество теплоты, отводимое в О.С.:

$$q_{\text{ос}}(t_{\text{ст_н_max}}, 0) = 13.6 \frac{\text{Вт}}{\text{м}}$$

$$Q_{\text{ос}} := \pi \cdot D_{\text{рх_зу}} q_{\text{ос}}(t_{\text{ст_н_max}}, 0) = 0.43 \text{ Вт}$$

Вывод: поскольку среднеинтегральный тепловой поток значительно превышает предельный тепловой поток, внешняя стенка будет иметь температуру потока с инертностью не более 2-3 с. Для оценки внешней температуры стенки можно использовать график изменения температуры потока во времени и в частях канала. Основная часть теплоты будет перенесена в мобильную емкость.

Расчет температуры в мобильной емкости

При полном перемешивании всего закачанного газа в мобильной емкости, справедливо:

$$\sum G_i \cdot h_i = \sum G_i \cdot h_{\Sigma}$$

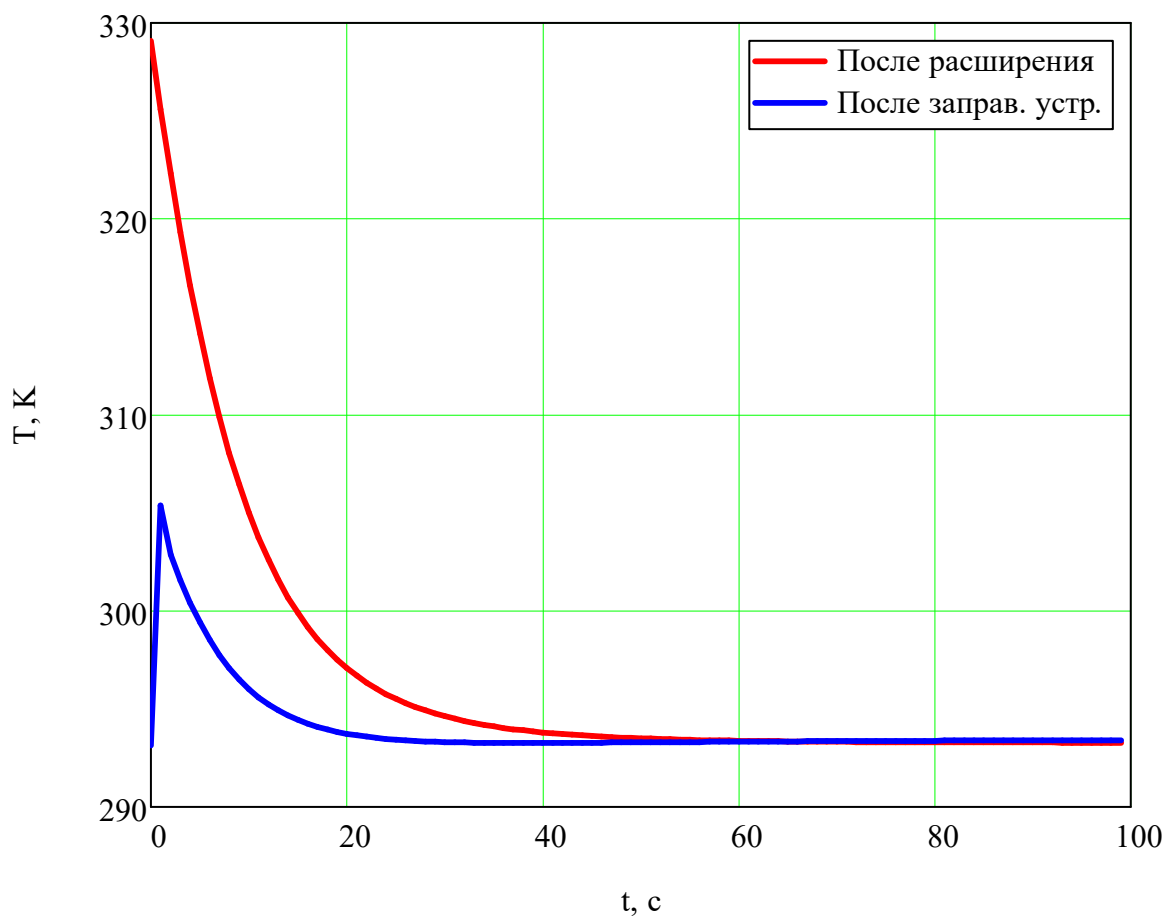
Тогда:

$$h_{\Sigma} := \frac{\sum_i \left(\frac{\Delta m_{\text{г}_i}}{c} \cdot h_{\text{нр}_i} \right)}{\sum_i \left(\frac{\Delta m_{\text{г}_i}}{c} \right)} = 4357.1 \frac{\text{кДж}}{\text{кг}}$$

Предельная максимально возможная температура сосуда с учетом допущения о полном перемешивания газа в сосуде после закачки:

$$T_{\text{phz}}(p_{\text{balance_abs}}, h_{\Sigma}, x_{\text{H}_2}) = 25.3^{\circ}\text{C}$$

В действительном процессе полное перемешивание не достигается, поэтому в месте входа газа в мобильную емкость будут наблюдаться локальные повышения температуры, вплоть до максимально возможной (синия линия на графике):



Обратите внимание. Весь проделанный расчет выполнен для данных из начального технического задания, они некорректны. Чтобы получить результаты для системы, которая будет работоспособна, необходимо уточнить объем хранилища и давление в нем так, чтобы давление равновесия было не предельным.